

## ارزیابی تأثیر اجزای اتصال بر عملکرد پای ستون در ساختمان‌های فولادی\*

«یادداشت پژوهشی»

جواد رزاقی<sup>(۱)</sup>آرش خوش‌بخت<sup>(۲)</sup>

**چکیده** اتصال پای ستون یکی از مهم‌ترین اجزای ساختمان‌های فولادی می‌باشد که میزان گیرداری آن تأثیر قابل ملاحظه‌ای بر رفتار واقعی سازه تحت بارهای ثقلی و جانبی و نتایج تحلیل سازه دارد. عوامل زیادی، از جمله ضخامت کف ستون، تعداد، قطر و آرایش میل مهارها و نیز ابعاد سخت‌کننده‌ها، بر گیرداری اتصال پای ستون مؤثر می‌باشند. در تحقیق حاضر با انجام تحلیل‌های غیرخطی به روش اجزای محدود، به بررسی میزان تأثیر هر یک از پارامترهای یادشده بر عملکرد اتصال پای ستون پرداخته شده است. نتایج تحلیل‌های اجزای محدود شامل رفتار لنگر-دوران پای ستون، محل تشکیل مفصل پلاستیک و نیز نحوه گسترش و توسعه تنش‌ها و تغییر شکل‌ها نشان می‌دهند که تغییر در مشخصات هر کدام از اجزای مختلف اتصال سبب تغییر در عملکرد و میزان گیرداری اتصال پای ستون، الگوی تسلیم کف ستون و میل-مهارها، تمرکز تنش موضعی در اجزای اتصال و نیز نحوه توزیع تنش روی سطح بتن می‌شود. این آثار باتوجه به پارامترهای مؤثر در اتصال پای ستون، دسته‌بندی و ارائه گردیده‌اند.

**واژه‌های کلیدی** گیرداری، اجزای محدود، اتصال پای ستون، سخت‌کننده، میل مهار.

## Effects of Connection Details on the Behavior of Column Base Connection

J. Razzaghi

A. Khoshbakht

**Abstract** Fixity of column base connection plays a major role in overall behavior of steel structures. Several parameters influence the real behavior of the column base connections, among them base plate thickness, anchor bolts and stiffeners details can be mentioned. A nonlinear three dimensional finite element method has been utilized for numerical studying of the behavior of the column base connection. Thickness of the base plate and stiffeners and also sizes and numbers of the anchor bolts were changed in a number of models to determine their effects on the nonlinear behavior of the regular column base connection. It was observed that column base connection characteristics such as its moment-rotation behavior, yielding pattern of base plate and anchor bolts and local stress concentration of the connection elements can be significantly affected by changing any detail of the connecting elements. The effects of each parameter on the behavior of column base connection were categorized and presented in this paper.

**Key Words** Fixity, Finite Element, Column Base Connection, Stiffener, Anchor Bolt.

\* تاریخ دریافت مقاله ۹۲/۴/۶ و تاریخ پذیرش آن ۹۳/۱۱/۱ می‌باشد.

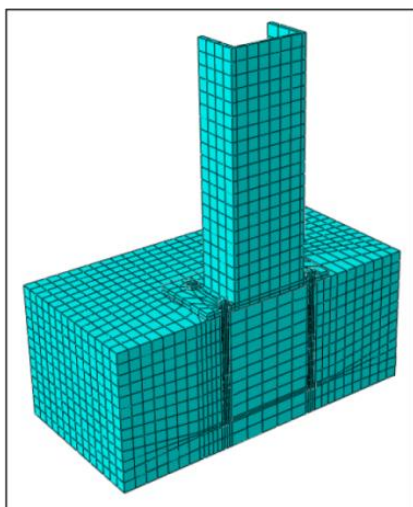
## مقدمه

اتصال پای ستون عملکرد نسبتاً پیچیده‌ای تحت بارهای وارد دارد. مطالعات انجام شده در زلزله‌های اخیر، بیانگر این مطلب بودند که بخشی از خرابی‌ها، ناشی از عملکرد نامطلوب اتصال پای ستون می‌باشد. به‌عنوان نمونه، گزارشهایی که از زلزله نورتریج توسط شورای فنی شریان‌های حیاتی مهندسی زلزله و نیز تیم شناسایی نورتریج ارائه شد [1]، بیانگر این بود که بسیاری از اتصالات پای ستونی طراحی شده براساس رهنمودهای موجود عملکرد رضایت‌بخشی نداشتند.

جاسپارت و وندگانز [2]، رفتار میل‌مهارهای با مهار انتهایی را در اتصال پای ستون مورد بررسی قرار دادند و مشاهده کردند که چسبندگی بین میل‌مهار و بتن پی به‌آسانی به‌ویژه در تغییرشکل‌های بزرگ اتصال و یا در تحریکات زلزله، از بین می‌رود به‌گونه‌ای که می‌توان میل‌مهار را از ابتدای بارگذاری فاقد چسبندگی با بتن فرض کرد. هاسل‌واندر و همکارانش [3] با ساخت نمونه‌های آزمایشگاهی، نتیجه گرفتند که الگوهای خرابی ممکن میل‌مهار شامل تسلیم میل‌مهار به‌ویژه در بخش رزوه شده، متلاشی شدن پوشش بتن روی بخش مهاری میل‌مهار و تشکیل مخروط خرابی بتن می‌باشند. پیکارد و بیولی [4] و کانتولین و همکارانش [5] با انجام تحقیقات آزمایشگاهی، تأثیر بار محوری ستون بر صلبیت اتصال پای ستون را مورد بررسی قرار دادند. هان و ملچرز [6] تأثیر ابعاد ستون و ضخامت کف ستون در افزایش سختی اتصال مفصلی پای ستون را مورد مطالعه قرار دادند. ارموپولوس و استاتوپولوس [7] با در نظر گرفتن پارامترهایی از قبیل اندازه و ضخامت صفحه کف ستون، طول و مکان میل‌مهارها و نیز بزرگی بار محوری، یک مدل ریاضی برای توصیف عملکرد اتصال پای ستون ارائه کردند. آستانه و همکارانش [8] نیز، با بررسی آزمایشگاهی اتصال پای ستون تحت بارگذاری چرخه‌ای، توانایی اتصال پای ستون در اتلاف انرژی را مورد ارزیابی قرار دادند.

## مدل‌سازی اجزای محدود

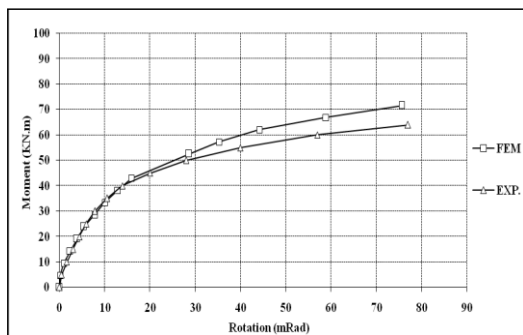
در مطالعه حاضر، اتصال پای ستون با جزئیات رایج شامل ستون، کف ستون، میل‌مهارها و بتن پی با استفاده از نرم‌افزار اجزای محدود ABAQUS مدل‌سازی شد و مورد تحلیل استاتیکی غیرخطی مادی و هندسی قرار گرفت. قیود تماسی مناسب برای توصیف برهم‌کنش بین اجزا اعمال شدند. ضریب اصطکاک بین کف ستون و بتن پی، براساس آیین‌نامه AISC [10]، ۰/۵۵ در نظر گرفته شد. براساس مطالعات انجام‌شده توسط جاسپارت و وندگانز [2]، که پیش‌تر بدان اشاره شد، فرض شده‌است هیچ‌گونه چسبندگی بین میل‌مهار و بتن پی وجود نداشته باشد. تمام اجزای اتصال با المان حجمی C3D8R، موجود در مجموعه المان‌های نرم‌افزار ABAQUS [9] شبکه‌بندی شدند (شکل ۱).



شکل ۱ مدل اجزای محدود شبکه‌بندی شده

تمام درجات آزادی در سطح زیرین بلوک بتنی مقید و وجوه کناری بلوک بتنی آزاد می‌باشند. با استفاده از تقارن صرفاً نیمی از سازه مدل شد (شکل ۲). به‌منظور اعمال لنگر خمشی، یک بار جانبی یکنواخت به سطح فوقانی ستون و با گام‌هایی با طول معین وارد گردید. طبق مطالعات سالمون و همکارانش [11]، تأثیر نیروی برشی ایجادشده در پای ستون بر

بارگذاری به صورت اعمال یک بار قائم به اندازه ۱۰۰ کیلونیوتن و سپس اعمال بار جانبی به بالای ستون تا مرحله خرابی می‌باشد. شکل (۴) منحنی لنگر-دوران حاصل از آزمایش تجربی و مدل‌سازی اجزای محدود را نشان می‌دهد. علی‌رغم عدم دست‌رسی به پاره‌ای از مشخصات، نمودارها بیانگر انطباق مناسب نتایج مدل‌سازی اجزای محدود و مدل آزمایشگاهی می‌باشد. هم‌چنین، مکانیزم خرابی در این آزمایش، خرابی کف ستون بیان شده‌بود که نتایج مدل‌سازی اجزای محدود نیز مؤید این مطلب می‌باشد.

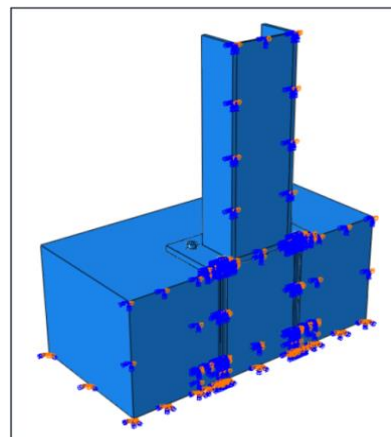


شکل ۴ منحنی لنگر-دوران مدل تجربی و اجزای محدود

### بررسی مدل‌های اجزای محدود

در مجموع ۱۶ مدل سه‌بعدی اجزای محدود در این تحقیق مورد مطالعه قرار گرفت. متغیرهای این مدل‌سازی‌ها ضخامت کف ستون، تعداد و قطر میل‌مه‌ارها و نیز ابعاد سخت‌کننده‌ها می‌باشند که بسته به مورد، تغییرات مورد نظر بر روی مدل مبنا (Ref.) اعمال شد. مدل مبنا، شامل یک اتصال پای ستون با ورق کف ستون مربعی به ابعاد ۶۰ و ضخامت ۳ سانتی‌متر می‌باشد. میل‌مه‌ارها ۶ عدد به قطر ۲/۸ و به طول ۵۰ سانتی‌متر و از نوع میل‌مه‌ار با مه‌ره انتهایی است. ستون متصل به کف ستون، تیر ورق‌سی با ابعاد بال و جان به ترتیب ۴۰x۲ و ۳۰x۲ سانتی‌متر و با ارتفاع ۱۰۰ سانتی‌متر در نظر گرفته‌شد. این مجموعه بر روی یک پی بتنی مربعی به ابعاد ۱۴۰ سانتی‌متر و عمق ۶۰ سانتی‌متر قرار گرفته‌است (شکل ۵).

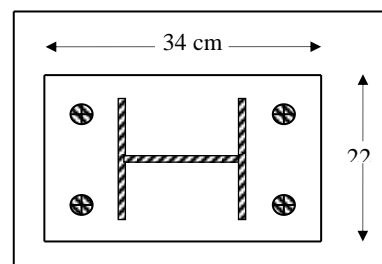
دوران و لنگر مقاوم نهایی اتصال ناچیز می‌باشد. تنش تسلیم و نهایی ورق، به ترتیب ۲۴۰۰ و ۳۸۰۰ برای میل‌مه‌ار، به ترتیب ۳۰۰۰ و ۵۰۰۰ و مدول الاستیسیته فولاد  $2/1 \times 10^6$  کیلوگرم بر سانتی‌متر مربع در نظر گرفته‌شد. رفتار بتن تا تنش حد نسبی الاستیک بود و تنش حد نسبی مطابق آیین‌نامه ACI 318-08، معادل  $f_c/45$  لحاظ شد [12]. مدول الاستیسیته و مقاومت فشاری مشخصه بتن، به ترتیب  $2/2 \times 10^5$  و ۲۱۰ کیلوگرم بر سانتی‌متر مربع و کرنش نهایی و ضریب پواسون بتن به ترتیب ۰/۰۰۲۲ و ۰/۱۵ در نظر گرفته‌شد.



شکل ۲ شرایط مرزی مدل

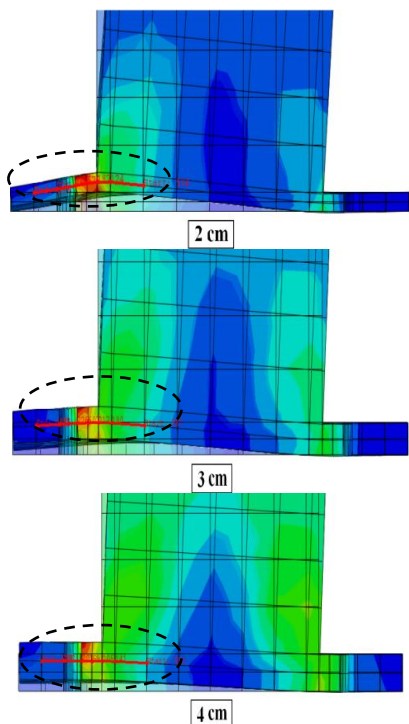
### صحت‌سنجی مدل‌های عددی

به منظور اطمینان از صحت تحلیل‌ها، مدل آزمایشگاهی اتصال پای ستون که توسط جاسپارت و وندگاز ساخته شده و مورد آزمایش قرار گرفته‌بود [2]، با استفاده از نرم‌افزار اجزای محدود مدل‌سازی شد. شکل (۳) اتصال پای ستون مورد نظر را نشان می‌دهد.



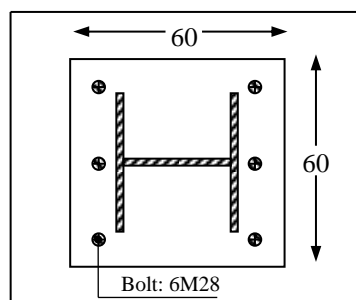
شکل ۳ پیکربندی اتصال پای ستون [2]

نیرو در ضخامت‌های بالاتر ورق مشاهده نمی‌گردد. لذا، با افزایش ضخامت کف ستون به ۲/۵ سانتی‌متر، افزایش چشم‌گیر سختی و ظرفیت خمشی اتصال در نمودارها دیده می‌شود.



شکل ۷ نحوه تغییر شکل کف ستون در ضخامت‌های مختلف کف ستون (تحت لنگر خمشی ۱۰۰ kN.m)

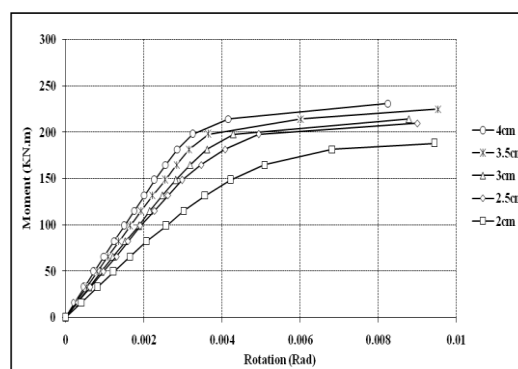
شکل (۸) نمودار تنش ایجادشده در کف ستون را در امتدادی معین در ناحیه مشخص شده با خط چین در شکل (۷) نشان می‌دهد. در کف ستون با ضخامت ۲ سانتی‌متر تمرکز تنش شدیدی در محل اتصال ستون ایجاد می‌شود. با افزایش ضخامت ورق، تنش این ناحیه به میزان قابل‌توجهی کاهش می‌یابد به نحوی که با افزایش ضخامت به ۳ سانتی‌متر، تنش مذکور به نصف تقلیل می‌یابد. علاوه بر این، بررسی نتایج تحلیل‌ها بیانگر این نکته بود که تغییر شکل صفحات کم‌ضخامت، سبب تغییر شکل موضعی میل‌مهار در زیر مهره فوقانی آن و در نتیجه، ایجاد تنش موضعی در این ناحیه می‌شود.



شکل ۵ پیکربندی اتصال پای ستون مبنا (Ref.)

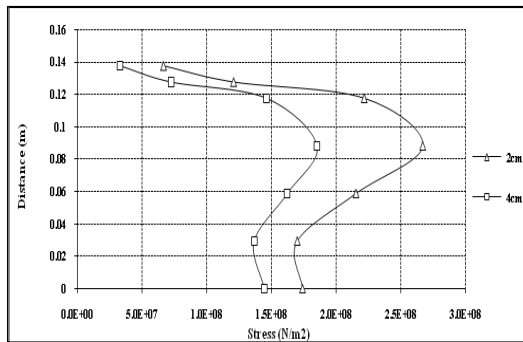
### ضخامت کف ستون

برای بررسی تأثیر ضخامت کف ستون بر پاره‌ای از ویژگی‌های اتصال در مجموع ۵ ضخامت مختلف کف ستون، که عبارتند از ۲، ۲/۵، ۳، ۳/۵ و ۴ سانتی‌متر در نظر گرفته شد. سایر مشخصات مانند مدل مبنا می‌باشد. در شکل (۶)، نمودار لنگر-دوران مربوط به حالات مختلف ارائه شده است. همان‌طور که مشاهده می‌شود افزایش ضخامت کف ستون، سبب افزایش محسوس در سختی و ظرفیت خمشی اتصال می‌گردد.

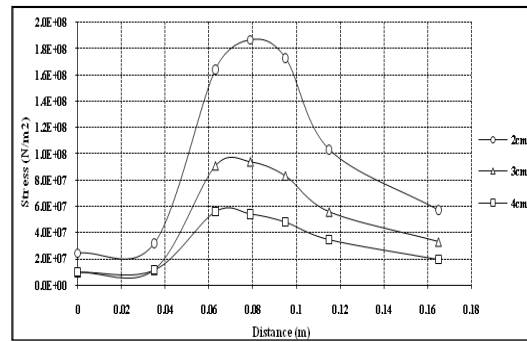


شکل ۶ نمودار لنگر-دوران ضخامت‌های مختلف کف ستون

ملاحظه می‌شود که در حالت ضخامت ۲ سانتی‌متر، به دلیل تسلیم زودهنگام نواحی‌ای از کف ستون در سمت کششی اتصال، انتهای سمت چپ کف ستون در تماس با بتن قرار می‌گیرد که سبب ایجاد نیروی اهرمی می‌شود (شکل ۷). نیروی اهرمی سبب تشدید تنش و تسریع فرآیند تسلیم ورق می‌شود. این



شکل ۱۰ نمودار تنش در ناحیه مشخص شده میل مهار برای ضخامت‌های مختلف کف ستون



شکل ۸ نمودار تنش در ناحیه مشخص شده برای ضخامت‌های مختلف کف ستون

در جدول (۱)، ویژگی‌های اصلی اتصال شامل سختی اولیه و ظرفیت خمشی به‌طور خلاصه ذکر شده‌است.

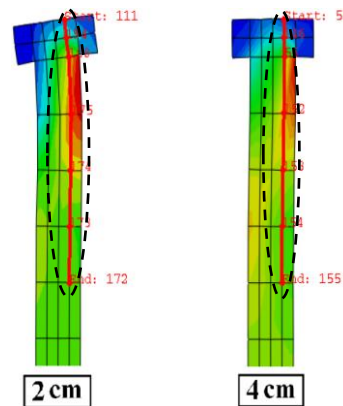
جدول ۱ تأثیر ضخامت کف ستون بر سختی و ظرفیت خمشی

ویژگی اتصال	2 cm	2.5 cm	3 cm	3.5 cm	4 cm
سختی اولیه (kN.m/rad)	38275	50640	53267	58662	64897
ظرفیت خمشی (kN.m)	190	210	215	225	230

با افزایش ضخامت کف ستون، از میزان تغییر شکل این صفحات کاسته می‌شود و عملکرد آنها صلب‌تر می‌شوند. متعاقباً، تمرکز تنش فشاری روی سطح بتن، به تدریج از ناحیه‌ای نزدیک زیر بال ستون به سمت ناحیه‌ای در اطراف لبه کف ستون منتقل می‌شود. (شکل ۱۱).

در شکل (۱۲) نمودار تنش ایجاد شده روی سطح بتن در ناحیه مشخص شده در شکل (۱۱) نمایش داده شده‌است. با افزایش ضخامت کف ستون، محل برآیند تنش فشاری ایجاد شده روی سطح بتن، به سمت لبه کف ستون متمایل می‌شود و با افزایش بازوی لنگر زیر کف ستون، مقدار تنش فشاری روی سطح بتن و نیز، نیروی کششی ایجاد شده در میل مهارها، برای تحمل یک لنگر خمشی مشخص، کاهش می‌یابد.

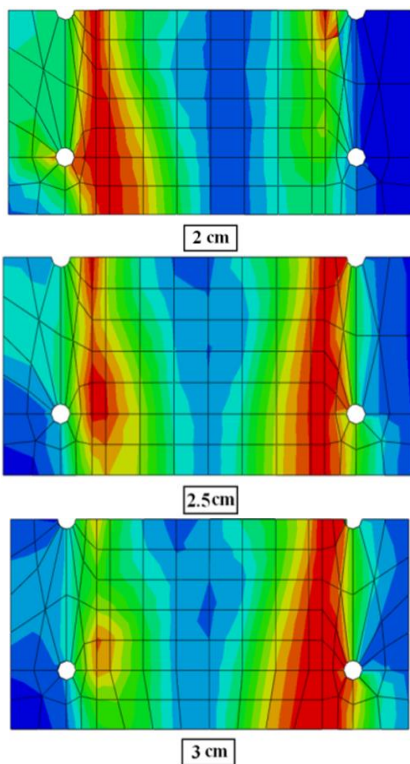
در شکل (۹) وضعیت میل مهار تحت لنگر وارد نشان داده شده‌است. ملاحظه می‌شود که با افزایش ضخامت ورق از میزان تنش موضعی در این ناحیه کاسته می‌شود.



شکل ۹ تغییر تمرکز تنش زیر مهره میل مهار در ضخامت‌های مختلف کف ستون (تحت لنگر خمشی ۱۰۰ kN.m)

شکل (۱۰) نمودار تنش ایجاد شده را در امتداد مشخص شده در شکل (۹) تحت لنگر خمشی مذکور، نشان می‌دهد. همان‌طور که مشاهده می‌شود، در حالت کف ستون با ضخامت ۲ سانتی‌متر، تمرکز تنش شدیدی در ناحیه زیر مهره فوقانی میل مهار ایجاد می‌شود که با افزایش ضخامت کف ستون، از میزان آن به‌طور محسوسی کاسته می‌شود.

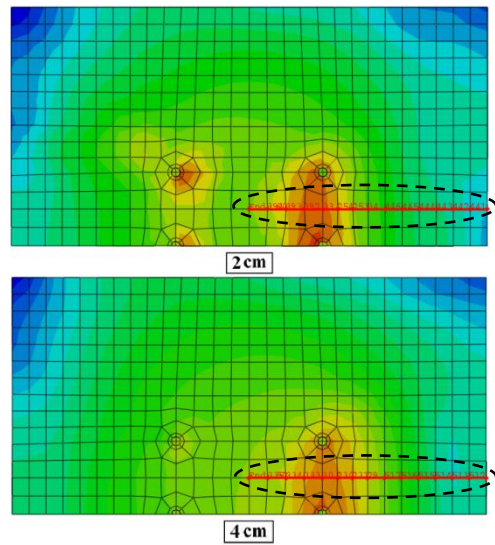
با افزایش ضخامت کف ستون، شروع خرابی‌ها به تدریج از ناحیه کششی کف ستون به ناحیه فشاری آن منتقل می‌شود به گونه‌ای که مطابق شکل (۱۳) در حالت کف ستون با ضخامت ۲ سانتی‌متر، ابتدا سمت کششی کف ستون تسلیم می‌شود. این امر در ضخامت ۲/۵ سانتی‌متر، تقریباً به‌طور هم‌زمان در دو سمت اتصال و در ضخامت‌های بالاتر، صرفاً در سمت فشاری کف ستون رخ می‌دهد.



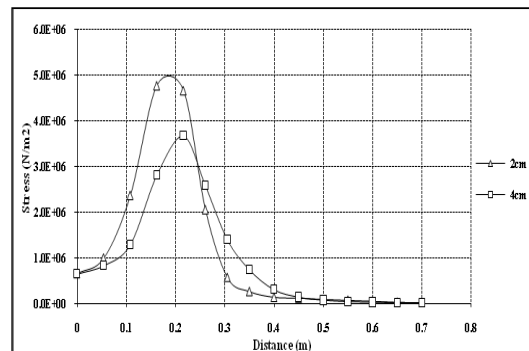
شکل ۱۳ الگوی تسلیم کف ستون در ضخامت‌های مختلف

### تعداد و قطر میل‌مهار

در مجموع ۵ سری مدل‌سازی به‌منظور بررسی تأثیر تعداد میل‌مهاری بر عملکرد اتصال پای ستون صورت گرفت. در این مدل‌ها به‌ترتیب ۴، ۶، ۸، ۱۰ و ۱۴ میل‌مهار با قطر ۲/۸ سانتی‌متر در اتصال پای ستون تعبیه شده‌است. در شکل (۱۴) نمودار لنگر-دوران اتصال در هر مورد نمایش داده شده‌است.



شکل ۱۱ تغییر توزیع تنش روی سطح بتن با افزایش ضخامت کف ستون (تحت لنگر خمشی ۱۰۰ kN.m)



شکل ۱۲ نمودار تنش در امتداد ناحیه مشخص شده روی بتن برای ضخامت‌های مختلف کف ستون

نیروی کششی ایجادشده در میل‌مهاری تحت لنگر خمشی مذکور، در جدول (۲) ارائه شده‌است.

جدول ۲ تأثیر ضخامت کف ستون بر نیروی کششی در میل‌مهاری (برای لنگر خمشی معادل ۱۰۰ kN.m)

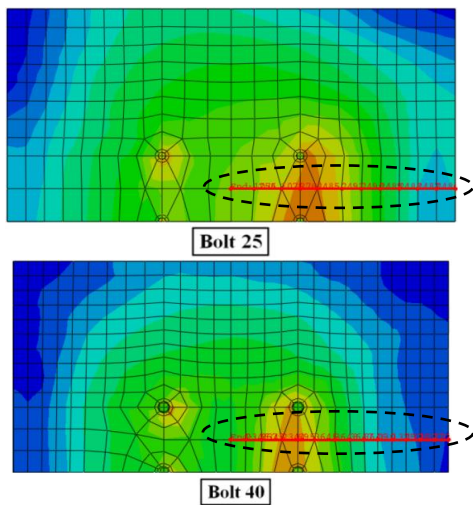
ضخامت کف ستون	2 cm	2.5 cm	3 cm	3.5 cm	4 cm
نیروی میل‌مهاری (kN)	274.6	262.0	260.4	258.7	255.3

با افزایش ضخامت کف ستون، تا حدودی از نیروی ایجادشده در میل‌مهاری کاسته می‌شود. همچنین

جدول ۴ تأثیر قطر میل‌مهاری بر سختی و ظرفیت خمشی

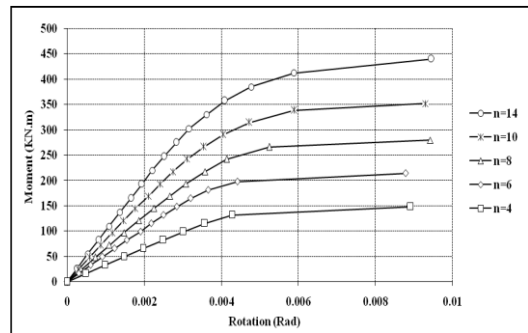
ویژگی اتصال	Bolt25	Bolt28	Bolt32	Bolt40
سختی اولیه (kN.m/rad)	49338	53267	64973	80427
ظرفیت خمشی (kN.m)	175	215	275	390

بررسی توزیع تنش روی سطح بتن، بیانگر این نکته بود که در صورت استفاده از میل‌مهاری با قطر و یا تعداد کمتر، به دلیل تغییر طول بیشتر میل‌مهاری در سمت کششی، کف ستون مانند ورق صلب دوران می‌کند. این امر سبب می‌شود ناحیه اتکایی بین کف ستون و بتن در سمت فشاری به لبه کف ستون نزدیک‌تر شود. در این شرایط انتظار می‌رود با افزایش بازوی لنگر، برای تحمل یک لنگر خمشی ثابت، میزان نیروی کششی میل‌مهاری و نیز نیروی فشاری زیر کف ستون کاهش یابد. شکل (۱۶) نمونه‌ای از توزیع تنش روی سطح بتن، برای دو قطر مختلف میل‌مهاری را نشان می‌دهد.



شکل ۱۶ توزیع تنش روی سطح بتن با افزایش قطر میل‌مهاری

شکل (۱۷) نمودار تنش ایجاد شده روی سطح بتن را در امتداد ناحیه مشخص شده در شکل (۱۶) نمایش می‌دهد. هم‌چنین در جدول (۵)، مقایسه‌ای بین نیروی کششی ایجاد شده در میل‌مهاری، متناظر با افزایش قطر آنها انجام شده است.



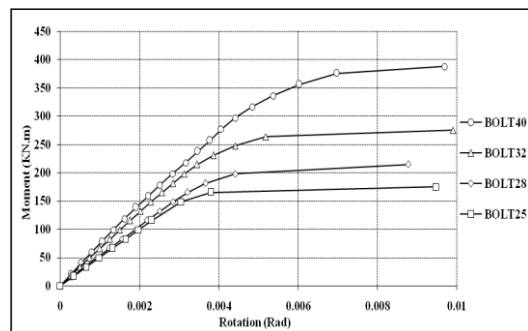
شکل ۱۴ نمودار لنگر-دوران برای تعداد مختلف میل‌مهاری

تأثیر تعداد میل‌مهاری بر سختی و ظرفیت خمشی اتصال در جدول (۳) ارائه شده است.

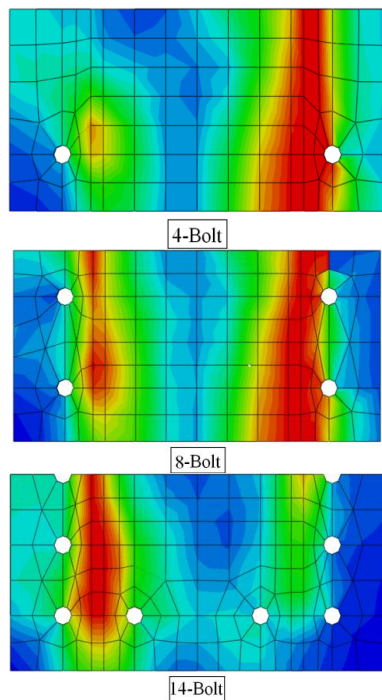
جدول ۳ تأثیر تعداد میل‌مهاری بر سختی و ظرفیت خمشی

ویژگی اتصال	4-Bolt	6-Bolt	8-Bolt	10-Bolt	14-Bolt
سختی اولیه (kN.m/rad)	32835	53267	64448	80427	97956
ظرفیت خمشی (kN.m)	150	215	280	355	440

به منظور بررسی تأثیر قطر میل‌مهاری بر عملکرد اتصال پای ستون، میل‌مهاری با قطر ۲/۵، ۲/۸، ۳/۲ و ۴ سانتی‌متر مدل‌سازی شدند. در شکل (۱۵) نمودار لنگر-دوران مربوط به هر مورد آورده شده است. همان‌طور که مشاهده می‌شود افزایش قطر میل‌مهاری، به شدت بر روی سختی و ظرفیت خمشی اتصال مؤثر می‌باشد. جدول (۴) تأثیر افزایش قطر میل‌مهاری بر سختی اولیه و ظرفیت خمشی اتصال را نشان می‌دهد.



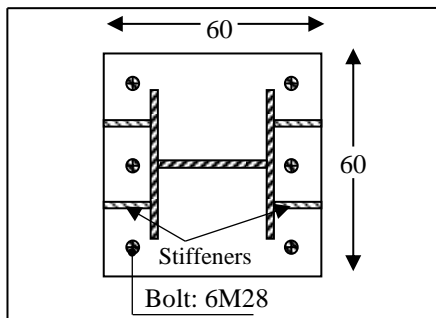
شکل ۱۵ نمودار لنگر-دوران برای ابعاد مختلف میل‌مهاری



شکل ۱۸ تغییر الگوی تسلیم کف ستون در تعداد میل‌مهاری مختلف

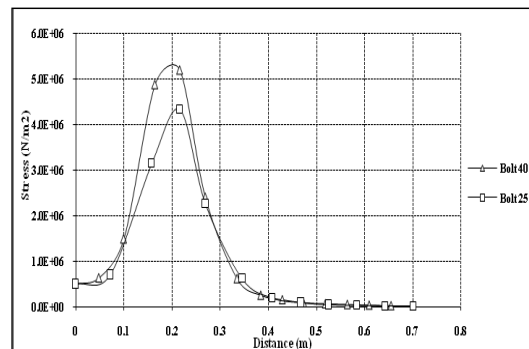
### ابعاد سخت‌کننده

به‌منظور بررسی تأثیر سخت‌کننده‌ها، ۴ سخت‌کننده با ضخامت و ارتفاع‌های مختلف در اتصال مبنا تعبیه شد. این سخت‌کننده‌ها به ضخامت‌های ۱ و ۲ و ارتفاع‌های ۱۰ و ۲۰ سانتی‌متر در نظر گرفته شدند (شکل ۱۹).



شکل ۱۹ آرایش سخت‌کننده‌ها در اتصال پای ستون

نتایج نشان می‌دهد که استفاده از سخت‌کننده سبب افزایش سختی و ظرفیت خمشی اتصال می‌شود، با



شکل ۱۷ نمودار تنش در امتداد ناحیه مشخص شده روی بتن برای قطرهای مختلف میل‌مهاری

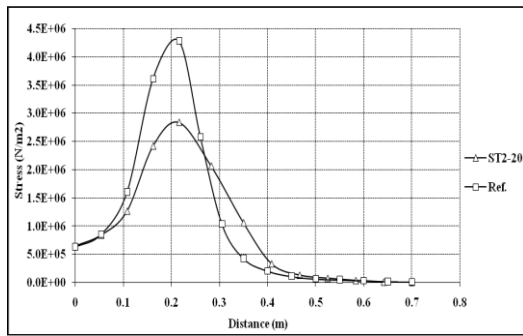
جدول ۵ تأثیر قطر میل‌مهاری بر نیروی کششی در میل‌مهاری (برای لنگر خمشی معادل ۱۰۰ kN.m)

قطر میل‌مهاری (mm)	Bolt25	Bolt28	Bolt32	Bolt40
نیروی میل‌مهاری (kN)	248.5	260.4	271.4	279.2

بررسی روند تسلیم کف ستون با افزایش تعداد میل‌مهاری، نشان می‌دهد که با افزایش آنها، شروع خرابی کف ستون به تدریج از سمت فشاری به سمت کششی منتقل می‌شود. مطابق شکل (۱۸) در حالت استفاده از ۴ میل‌مهاری، افزایش طول زیاد میل‌مهاری سبب تغییر شکل بزرگ ورق در سمت فشاری آن و در نتیجه، وقوع تسلیم در این ناحیه می‌گردد. با افزایش تعداد میل‌مهاری به ۸ عدد، خرابی‌هایی در سمت کششی نیز رخ می‌دهد و در نهایت در حالت استفاده از ۱۴ عدد میل‌مهاری، خرابی ورق از سمت کششی آن آغاز می‌گردد.

همچنین مشاهده شد در اتصالات با قطر و یا تعداد میل‌مهاری زیاد نیز، تمرکز تنشی مطابق آنچه در شکل (۹) مشاهده می‌شود، به وجود می‌آید. لذا می‌باید توجه ویژه‌ای در هنگام انتخاب ضخامت کف ستون و تعداد و قطر میل‌مهاری، به این مسئله معطوف شود تا از خرابی موضعی میل‌مهاری در این ناحیه جلوگیری شود.





شکل ۲۱ نمودار تنش در امتداد ناحیه مشخص شده روی بتن برای حالات با و بدون سخت‌کننده

در جدول (۷) مقایسه‌ای بین نیروی کششی میل‌مهارها ارائه شده است که بیانگر کاهش نه چندان قابل توجه نیروی میل‌مهارها در صورت استفاده از سخت‌کننده می‌باشد.

جدول ۷ تأثیر سخت‌کننده بر نیروی کششی در میل‌مهارها (برای لنگر خمشی معادل ۱۰۰ kN.m)

نوع سخت‌کننده	Ref.	ST1-10	ST2-10	ST1-20	ST2-20
نیروی میل‌مهارها (kN)	260.4	253.9	252.5	244.1	243.2

### نتیجه‌گیری

نتایج مطالعات پارامتریک صورت گرفته بر روی اتصال پای ستون به شرح زیر خلاصه می‌شود:

۱. مطالعات صورت گرفته بر روی تأثیر ضخامت کف ستون و نیز تعداد و قطر میل‌مهارها، بیانگر تأثیر چشم‌گیر آنها بر عملکرد اتصال پای ستون می‌باشد به گونه‌ای که افزایش پارامترهای مذکور، سبب افزایش محسوس سختی و ظرفیت خمشی اتصال می‌گردد.

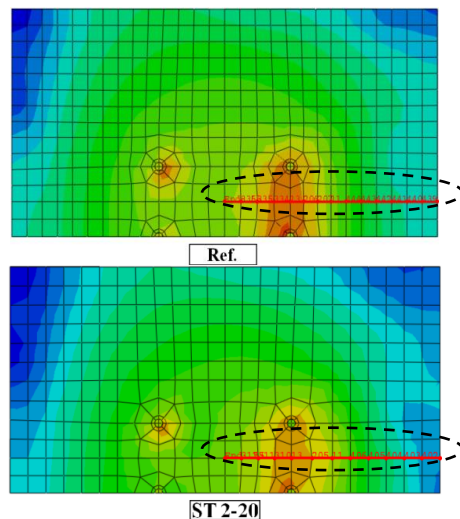
۲. در ورق به ضخامت ۲ سانتی‌متر، تمرکز تنش شدیدی در محل اتصال ستون به وجود آمده است که سبب تغییر شکل موضعی کف ستون و ایجاد نیروی اهرمی می‌شود. این نیرو، در ضخامت‌های بالاتر کف

افزایش ارتفاع سخت‌کننده‌ها، مقادیر پارامترهای فوق افزایش نسبتاً محسوسی می‌یابند ولی افزایش ضخامت، تفاوت چندانی به وجود نمی‌آورد (جدول ۶).

جدول ۶ تأثیر سخت‌کننده بر سختی و ظرفیت خمشی

ویژگی اتصال	Ref.	ST1-10	ST2-10	ST1-20	ST2-20
سختی اولیه (kN.m/rad)	53267	59370	60022	62962	64752
ظرفیت لنگر (kN.m)	215	220	222	230	233

بررسی توزیع تنش روی سطح بتن، حاکی از این مطلب بود که در صورت استفاده از سخت‌کننده، محل برآیند تنش ایجاد شده روی بتن، به سمت لبه کف ستون متمایل می‌شود و در عین حال از مقدار آن نیز کاسته می‌شود. با این وجود، میزان تنش در امتداد لبه کف ستون افزایش می‌یابد. این امر، احتمال متلاشی شدن بتن در این ناحیه را افزایش می‌دهد. لذا لازم است در هنگام طراحی، این امر مدنظر قرار گیرد. در اشکال (۲۰) و (۲۱) به ترتیب، توزیع تنش روی سطح بتن و نمودار تنش مربوطه ارائه شده است.



شکل ۲۰ تغییر توزیع تنش روی سطح بتن در صورت استفاده از سخت‌کننده (تحت لنگر خمشی ۱۰۰ kN.m)

هنگام انتخاب ضخامت ورق و مساحت میل مهارها، توجه به این موضوع برای جلوگیری از بروز خرابی موضعی در این ناحیه لازم است.

۵. نتایج نشان می‌دهد که استفاده از سخت‌کننده سبب افزایش سختی و ظرفیت خمشی اتصال می‌شود تأثیر افزایش ارتفاع سخت‌کننده‌ها بر پارامترهای فوق، بیشتر از تأثیر افزایش ضخامت می‌باشد.

۶. افزایش صلبیت کف ستون، سبب کاهش حداکثر تنش فشاری زیر کف ستون ولی افزایش تنش فشاری در امتداد لبه ورق می‌شود. این امر، احتمال متلاشی شدن بتن در این ناحیه را افزایش می‌شود و لازم است که توجه ویژه‌ای به این امر معطوف شود.

ستون مشاهده نمی‌شود. با افزایش ضخامت ورق، سختی و ظرفیت خمشی اتصال شدیداً افزایش می‌یابد.

۳. با تغییر ضخامت ورق، تعداد و قطر میل مهارها و هم‌چنین استفاده از سخت‌کننده، محل برآیند نیروی فشاری زیر کف ستون تغییر می‌کند. با افزایش تعداد یا قطر میل مهارها و یا کاهش ضخامت کف ستون، به‌علت کاهش بازوی لنگر، مقدار نیروی فشاری زیر کف ستون و نیز نیروی کششی میل مهارها افزایش می‌یابد.

۴. نتایج نشان می‌دهد که افزایش مساحت میل مهارها و یا کاهش ضخامت کف ستون، سبب تمرکز تنش موضعی در زیر مهره فوقانی میل مهار می‌شود. لذا در

## مراجع

1. Technical Council on Lifeline Earthquake Engineering, Northridge Earthquake–Lifeline Performance and Post-Earthquake Response, Monograph No. 8, ASCE, New York, New York, (1995).
2. Jaspert, J. P. and Vandegans, D., "Application of Component Method to Column Bases", *Journal of Constructional Steel Research*, Vol. 48, pp. 89-106, (1998).
3. Hasselwander, G. B., Jirsa, J.O., Breen, J.E., and Lo, K., "Strength and Behavior of Anchor Bolts Embedded Near Edges of Concrete Piers", Research Report 29-2F, Center for Highway Research, University of Texas at Austin, (1977).
4. Picard, A. and Beaulieu, D., "Behavior of a Simple Column Base Connection", *Canadian Journal of Civil Engineering*, Vol. 12, pp. 126-136, (1985).
5. Kontoleon, M.J., Mistakidis, E.S., Baniotopoulos, C.C., and Panagiotopoulos, P.D., "Parametric Analysis of the Structural Response of Steel Base Connections", *Computers and Structures*, Vol. 71, pp. 87-103, (1999).
6. Hon, K.K. and Melchers, R.E., "Experimental Behavior of Steel Column Bases", *Journal of Constructional Steel Research*, Vol. 9, Paper No. 143, pp. 35-50, (1988).
7. Ermopoulos, J. and Stamatopoulos, G., "Mathematical Modeling of Column Base Plate Connections", *Journal of Constructional Steel Research*, Vol. 36, No. 2, pp. 79-100, (1996a).
8. Astaneh, A., Bergsma, G., and Shen J. H., "Behavior and Design of Base Plates for Gravity, Wind and Seismic Loads", *Proceedings of the National Steel Construction Conference*, Las Vegas, Nevada, AISC, Chicago, Illinois, (1992).

9. ABAQUS user's manual, Version 6.9.1 USA, (2009).
10. American Institute of Steel Construction, 13<sup>th</sup> Ed., Manual of Steel Construction, Chicago, IL, (2006).
11. Salmon, C. G., Shaker, L., and Johnston, B. G., "Moment-Rotation Characteristics of Column Anchorages", *Transactions*, ASCE, Vol. 122, pp. 132-154, (1957).
12. American Concrete Institute (ACI), Building Code Requirements for Structural Concrete (ACI 318-08) and Commentary, ACI, Farmington Hills, Michigan, (2008).

